

REM-Bilder der Eier von zwei *Isognathus* FELDER & FELDER, 1862-Arten:***Isognathus caricae* (LINNAEUS, 1758)*****Isognathus rainermarxi* EITSCHBERGER, 1999 stat. nov.**

(Lepidoptera, Sphingidae)

von

ULF EITSCHBERGER

eingegangen am 5.III.2008

Zusammenfassung: *Isognathus rainermarxi* EITSCHBERGER, 1999 stat. nov. wird in den Artstatus erhoben. REM-Bilder der Eier werden mit denen von *Isognathus caricae* (LINNAEUS, 1758) verglichen und von beiden Arten abgebildet.

Summary: *Isognathus rainermarxi* EITSCHBERGER, 1999 stat. nov. is raised to specific level. The SEM micrographs of the eggs from this species are compared with those of *Isognathus caricae* (LINNAEUS, 1758).

Ursprünglich wurde *Isognathus rainermarxi* EITSCHBERGER, 1999 stat. nov. als Unterart von *Isognathus caricae* (LINNAEUS, 1758) beschrieben. Aufgrund des unterschiedlichen Genitalbaus wie auch eines völlig anderen Aussehens und einer anderen Flügelform (EITSCHBERGER, 1999: 22-227) wird hier dieses Taxon in den Artstatus erhoben, auch wenn sich die Eimorphologie vor allem durch die Zahl der Bogenfelder der Mikropylrosette, 16 bei einem Ei der *I. caricae* (L.) (Abb. 4) und 12 (Abb. 8) und 15 (nicht abgebildet, da Qualität zu schlecht) bei zwei Eiern der *I. rainermarxi* EITSCHBERGER, 1999 stat. nov., nur unwesentlich unterscheiden. Betrachtet man sich jedoch die Rosette beider Arten genauer, so sind bei *I. caricae* (L.) alle Bogenfelder um den Mikropylkrater herum sehr viel einheitlicher in den Formen und Ausmaßen (Abb. 4), wohingegen diese bei *I. rainermarxi* EBG. sehr ungleich sind, die Rosette ist insgesamt auch größer (Abb. 10). In die Rosette versuchen bei *I. rainermarxi* EBG. auch Bogenfelder von der zweiten Mikropylspirale zum Mikropylkrater vorzudringen, so daß es schwierig wird zu entscheiden, ob man diese noch zu den Bogenfeldern der Rosette hinzurechnen soll oder nicht. Ein weiterer Unterschied ist der Kraterwulst bei *I. rainermarxi* EBG. Verlaufen die Bogenfelder der Rosette zumeist flach zum Krater hin (Abb. 4), wo sie sich auch zu diesem hineinsenken, so erheben sich bei *I. rainermarxi* EBG. die Ausläufer der Rosette im vorderen Drittel, um sich dann vor dem Mikropylkrater wieder zu diesem zu neigen und bilden so in ihrer Gesamtheit einen flachen Kraterwulst (Abb. 10).

Die Mikropylzone hat insgesamt fünf bis sechs Spiralen, bei denen die Netzstruktur feiner und falcher ausgeprägt ist, verglichen mit der allgemeinen Gitternetzstruktur der übrigen Eioberfläche. Unterschiede bei der Netzgitterstruktur sind bei beiden Arten, aufgrund der vorliegenden Bilder, nicht zu erkennen (Abb. 2, 3, 8). Es scheint jedoch, daß sich bei *I. caricae* (L.) mehr Aeropylen in den Netzgitterknotenpunkten befinden (Abb. 2, 3); bei *I. rainermarxi* EBG. ist lediglich nur eine Aeropyle sichtbar (Abb. 8, Pfeil).

Legende der Abbildungen

Abb. 1-6: *Isognathus caricae* (LINNAEUS, 1758), GP 2726 ♀, Venezuela, Maracay, Mai [19]54, leg. P. VOGEL, ZSM.

Abb. 1: Ei in dorso-lateraler Ansicht; der Kreis markiert die Mikropylzone.

Abb. 2, 3: Netzgitterstruktur.

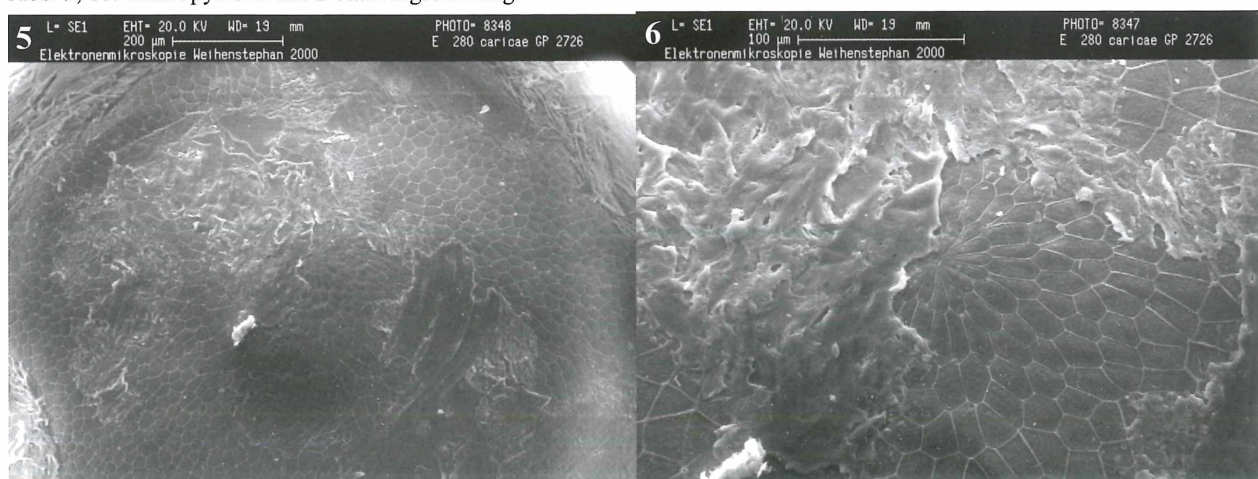
Abb. 4-6: Mikropylrosette in Detailvergrößerung, mit Ansichten der Mikropylzone.

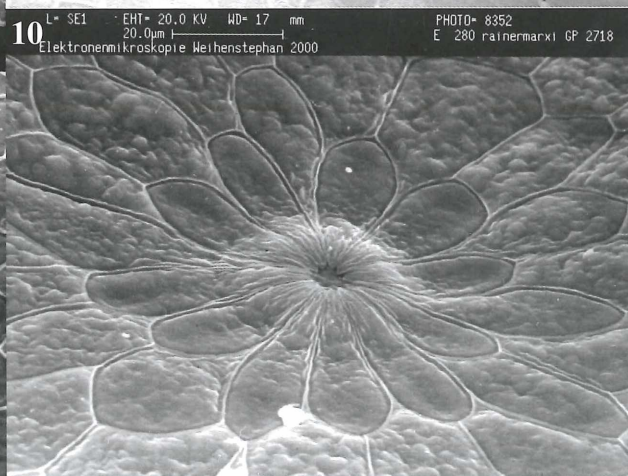
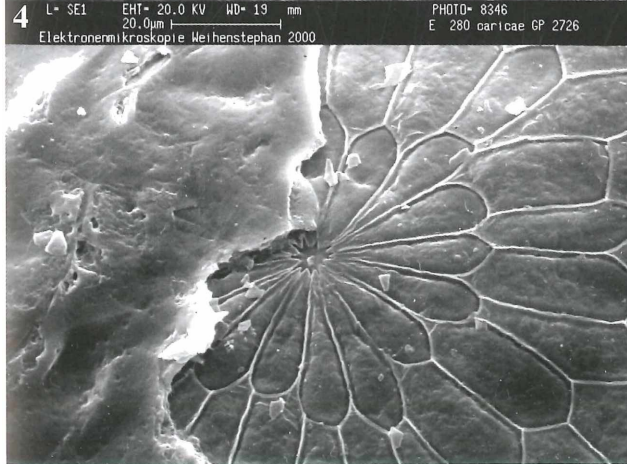
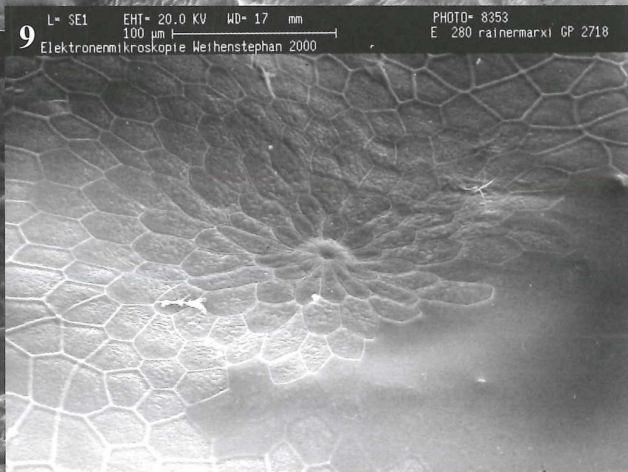
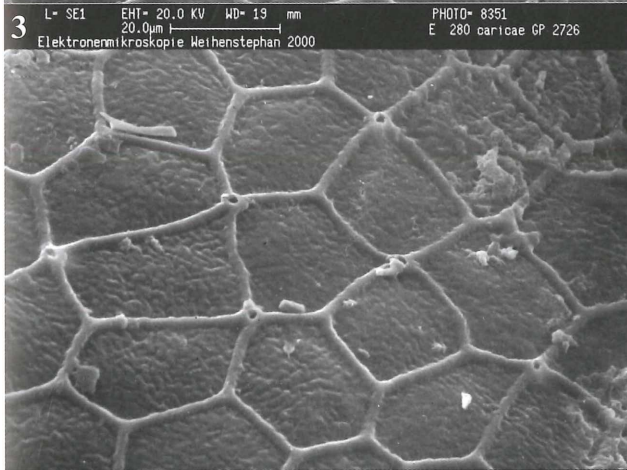
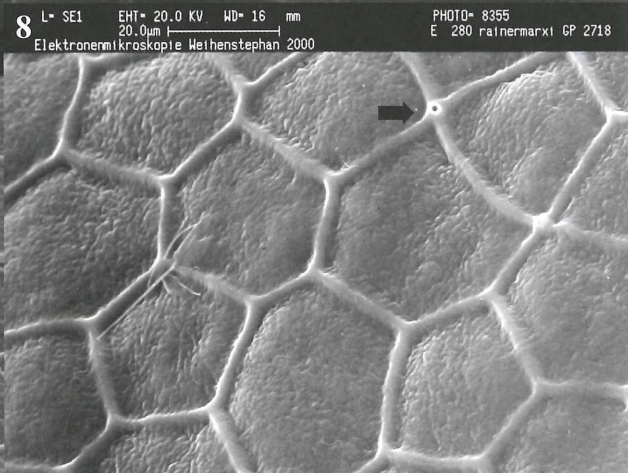
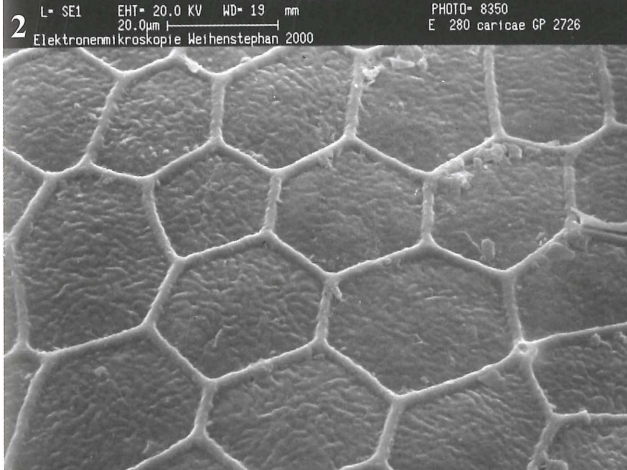
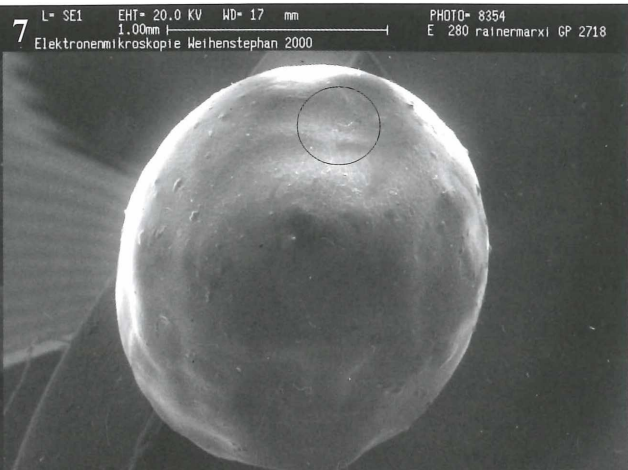
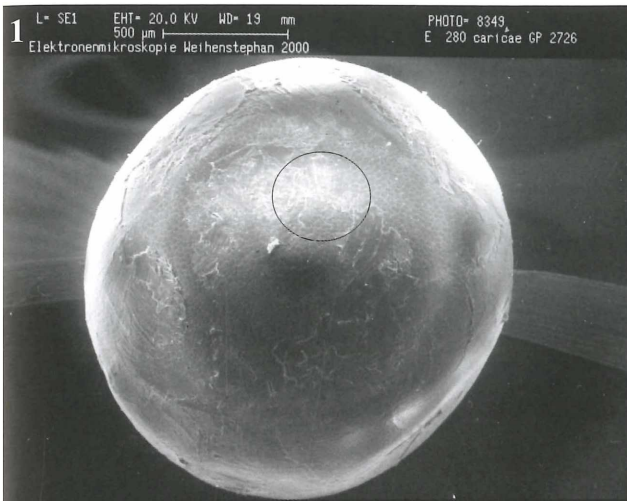
Abb. 7-10: *Isognathus rainermarxi* EITSCHBERGER, 1999 stat. nov., GP 2718 ♀, Nordperu, 1800 m, Department Cajamarca, Limon, Juni-Juli 1998, RAINER MARX leg, EMEM, 9.XII.1998, EMEM.

Abb. 7: Ei in dorso-lateraler Ansicht; der Kreis markiert die Mikropylzone.

Abb. 8: Netzgitterstruktur.

Abb. 9, 10: Mikropylzone mit Detailvergrößerung.





ZOBODAT - www.zobodat.at

Zoologisch-Botanische Datenbank/Zoological-Botanical Database

Digitale Literatur/Digital Literature

Zeitschrift/Journal: [Neue Entomologische Nachrichten](#)

Jahr/Year: 2008

Band/Volume: [62](#)

Autor(en)/Author(s): Eitschberger Ulf

Artikel/Article: [REM-Bilder der Eier von zwei Isognathus Felder & Felder, 1862-Arten: *Isognathus caricae* \(Linnaeus, 1758\) *Isognathus vainermarxi* Eitschberger, 1999 stat. nov. \(Lepidoptera, Sphingidae\) 108-109](#)